

VYSOKÉ UČENÍ TECHNICKÉ V BRNĚ

Centrum sportovních aktivit

BAKALÁŘSKÁ PRÁCE

Brno, 2025

Petr Šimčák



VYSOKÉ UČENÍ TECHNICKÉ V BRNĚ

BRNO UNIVERSITY OF TECHNOLOGY

CENTRUM SPORTOVNÍCH AKTIVIT

CENTRE OF SPORTS ACTIVITIES

ODHAD TEPOVÉ FREKVENCE ZE SIGNÁLŮ PPG

HEART RATE ESTIMATION FROM THE PPG SIGNALS

BAKALÁŘSKÁ PRÁCE

BACHELOR'S THESIS

AUTOR PRÁCE

AUTHOR

Petr Šimčák

VEDOUCÍ PRÁCE

SUPERVISOR

doc. Ing. Jiří Kozumplík, CSc.

BRNO 2025

ZADÁNÍ

Namísto této stránky vložte stránku **zadání FEKT** vygenerovanou v IS VUT.

ABSTRAKT

Tato bakalářská práce se zaměřuje na odhad tepové frekvence ze signálů fotopletysmografie (PPG). Práce využívá dvě databáze: CapnoBase a BUT PPG. Cílem je nejen přehledně popsat metody odhadu tepové frekvence ze signálů PPG, ale také navrhnout, implementovat a otestovat algoritmy pro spolehlivou detekci systolických vrcholů a stanovení tepové frekvence. Diskutovány jsou také výhody a omezení jednotlivých metod.

KLÍČOVÁ SLOVA

fotopletysmografie, tepová frekvence, PPG, odhad tepové frekvence, systolické vrcholy, algoritmy, CapnoBase, BUT PPG

ABSTRACT

This bachelor thesis focuses on heart rate estimation from photoplethysmographic (PPG) signals. The work utilizes two databases: CapnoBase and BUT PPG. The aim is not only to provide an overview of heart rate estimation methods from PPG signals but also to design, implement, and test algorithms for reliable detection of systolic peaks and heart rate determination. The advantages and limitations of each method are also discussed.

KEYWORDS

photoplethysmography, heart rate, PPG, heart rate estimation, systolic peaks, algorithms, CapnoBase, BUT PPG

ŠIMČÁK, Petr. *Odhad tepové frekvence ze signálů PPG*. Bakalářská práce. Brno: Vysoké učení technické v Brně, Centrum sportovních aktivit, Ústav telekomunikací, 2025.
Vedoucí práce: doc. Ing. Jiří Kozumplík, CSc.

Prohlášení autora o původnosti díla

Jméno a příjmení autora: Petr Šimčák
VUT ID autora: 226320
Typ práce: Bakalářská práce
Akademický rok: 2024/25
Téma závěrečné práce: Odhad tepové frekvence ze signálů PPG

Prohlašuji, že svou závěrečnou práci jsem vypracoval samostatně pod vedením vedoucí/ho závěrečné práce a s použitím odborné literatury a dalších informačních zdrojů, které jsou všechny citovány v práci a uvedeny v seznamu literatury na konci práce.

Jako autor uvedené závěrečné práce dále prohlašuji, že v souvislosti s vytvořením této závěrečné práce jsem neporušil autorská práva třetích osob, zejména jsem nezasáhl nedovoleným způsobem do cizích autorských práv osobnostních a/nebo majetkových a jsem si plně vědom následků porušení ustanovení § 11 a následujících autorského zákona č. 121/2000 Sb., o právu autorském, o právech souvisejících s právem autorským a o změně některých zákonů (autorský zákon), ve znění pozdějších předpisů, včetně možných trestněprávních důsledků vyplývajících z ustanovení části druhé, hlavy VI. díl 4 Trestního zákoníku č. 40/2009 Sb.

Brno
.....
podpis autora*

*Autor podepisuje pouze v tištěné verzi.

PODĚKOVÁNÍ

Děkuji vedoucímu bakalářské práce doc. Ing. Jiřímu Kozumplíkovi, CSc. za trpělivost, hodnotné rady, laskavý přístup, konzultace, podklady k práci a odborné vedení.

Obsah

Úvod	21
1 Srdeční tep	23
1.1 Faktory ovlivňující srdeční tep	23
1.2 Měření srdečního tepu	23
1.3 Srdeční tepová frekvence	23
2 Fotopletysmografie	25
2.1 PPG signál	26
3 Databáze	29
3.1 CapnoBase	29
3.2 BUT PPG	29
4 Referenční algoritmy	31
5 Vlastní algoritmy	33
6 Výsledky studentské práce	35
6.1 Programové řešení	35
6.2 Výsledky měření	35
6.2.1 Etiam quis quam	35
Závěr	39
Literatura	41
Seznam symbolů a zkratk	45
Seznam příloh	47
A Některé příkazy balíčku thesis	49
A.1 Příkazy pro sazbu veličin a jednotek	49
A.2 Příkazy pro sazbu symbolů	49
B Druhá příloha	51
C Příklad sazby zdrojových kódů	53
C.1 Balíček listings	53
D Obsah elektronické přílohy	57

Seznam obrázků

2.1	Snímání PPG signálu	25
2.2	Fiziologický popis PPG signálu	27
3.1	Získání PPG signálu pro databázi BUT PPG	30
B.1	Origo Template	51

Seznam tabulek

A.1 Přehled příkazů	49
-------------------------------	----

Seznam výpisů

C.1	Ukázka sazby zkratk	53
C.2	Příklad Schur-Cohnova testu stability v prostředí Matlab.	54
C.3	Příklad implementace první kanonické formy v jazyce C.	55

Úvod

Tepová frekvence je jedním z klíčových zdravotních parametrů, který poskytuje důležité informace o stavu kardiovaskulárního systému subjektu. Měření a monitorování srdeční tepové frekvence se stalo nepostradatelným nástrojem nejen v medicíně, ale také ve sportovní vědě a kondičním tréninku. Tradiční metody měření tepové frekvence, jako je EKG (Elektrokardiogram), jsou přesné, ale jejich nevýhodami jsou vyšší cena a uživatelská nepřívětivost v používání EKG systémů. V posledních letech získává na popularitě PPG (Fotopletysmografie). To neinvazivní a relativně levná metoda, která umožňuje monitorovat tepovou frekvenci pomocí optických senzorů.

Fotopletysmografie funguje na principu detekce změn objemu krve v tkáni pomocí světla, které je absorbováno nebo reflektováno. Výhodou PPG je možnost integrace do nositelných zařízení, jako jsou chytré hodinky nebo fitness náramky, což umožňuje nepřetržité monitorování tepové frekvence v reálném čase bez zásahu do běžného života měřeného.

Cílem této bakalářské práce je analyzovat metody odhadu tepové frekvence z PPG signálů a navrhnout vlastní algoritmus, který umožní spolehlivé stanovení tepové frekvence. K otestování algoritmů budou využity databáze PPG signálů: CapnoBase a BUT PPG (Brno University of Technology Smartphone PPG Database).

1 Srdeční tep

Srdeční tep, též pulz, je základní mechanický projev činnosti srdce. Tep je označení pro tlakovou vlnu šířící se ze srdce do celého těla. Tep je možné cítit v tepnách, nacházejících se blízko povrchu těla [9].

1.1 Faktory ovlivňující srdeční tep

Srdeční tep může být ovlivněn mnoha faktory. Jedním z nejvýznamnějších je fyzická aktivita, protože během cvičení potřebuje tělo více kyslíku, což vyžaduje rychlejší pumpování krve srdcem. Dalšími faktory ovlivňující pulz mohou být například stres nebo úzkost, které aktivují sympatický nervový systém, nebo například kofein a jiné stimulanty [11].

1.2 Měření srdečního tepu

Srdeční tep lze měřit manuálně nebo pomocí elektronických zařízení. Manuální měření se provádí umístěním prstů na tepnu a počítáním úderů za určitý časový úsek, obvykle za 15 sekund, a následným vynásobením výsledku čtyřmi, aby se získal počet úderů za minutu. Elektronické monitory, jako jsou fitness náramky nebo chytré hodinky, nabízejí pohodlnější a často přesnější sledování srdečního tepu. Výsledkem takového měření je tepová frekvence [2].

1.3 Srdeční tepová frekvence

O srdeční tepové frekvence se běžně mluví, jako o tepové frekvenci (TF), která udává počet srdečních cyklů za minutu. Klidová TF se pohybuje v rozmezí 60 až 90 srdečních cyklů za minutu. Frekvence nižší než 60 srdečních cyklů za minutu se označuje jako bradykardie a frekvence vyšší než 90 cyklů za minutu, jako tachykardie.

U pravidelné TF jsou časové vzdálenosti mezi jednotlivými srdečními cykly přibližně stejné. Nepravidelnou TF nazýváme arytmií [10].

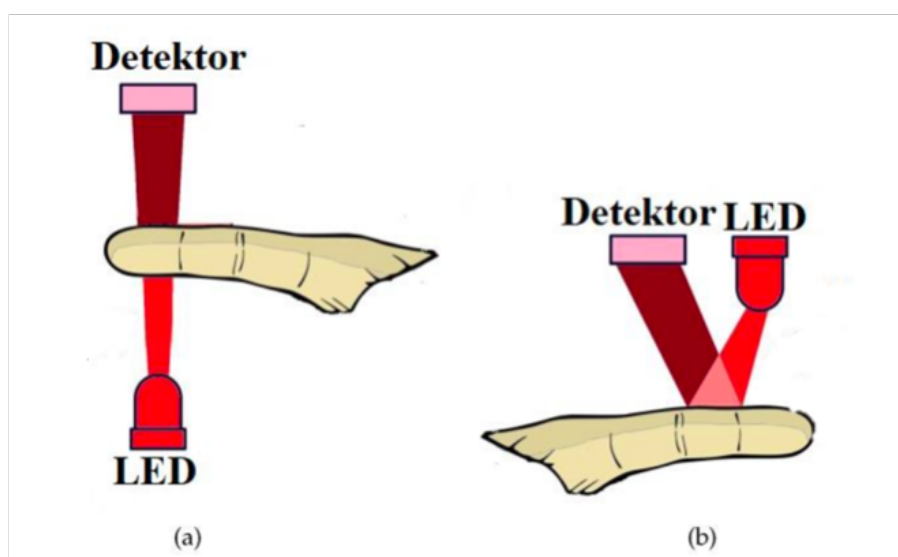
Srdeční tepová frekvence je cenným nástrojem pro monitorování zdravotního stavu a fyzické kondice. Pravidelné sledování může pomoci k identifikování potenciálních zdravotních problémů. Může též poskytnout užitečné informace o reakcích těla na různé zátěže a stresory [13].

Rozsah srdeční tepové frekvence je u lidí 30 až 200 tepů za minutu. Proto se při detekci TF běžně využívá pásmové propusti v rozmezí od 0,5 Hz do 25 Hz. Konkrétní hodnoty dolní i horní meze se liší podle použité metody [8].

2 Fotopletysmografie

Fotopletysmografie (PPG) je neinvazivní, optická metoda, která se využívá k monitorování změn objemu krve v mikrovaskulárním ložisku tkáně, a to v závislosti na čase. Tato technika je založena na detekci světla absorbovaného nebo odraženého v měřené tkáni, což umožňuje sledovat kardiovaskulární parametry jako je srdeční tep, saturace kyslíkem nebo krevní tlak. Předností PPG je, že se jedná o levnou, neinvazivní metodu měření, i to, že se dá snadno integrovat do nositelných zařízení. Subjekt může být díky PPG dlouhodobě monitorován bez zásahu do běžného života.

Jak je znázorněno na obrázku 2.1, základní princip PPG spočívá v emisi světla do tkáně a následném měření množství světla, které je od tkáně reflektováno zpět. Intenzita reflektovaného světla se mění v závislosti na množství krve procházející měřenou oblastí, což je ovlivněno srdečním pumpováním krve. Tyto změny jsou zaznamenány fotodetektořem a převedeny na elektrický signál, který je dále analyzován [12].



Obr. 2.1: Transmisní režim (a) a reflexní režim (b), upraveno z [2].

PPG senzory jsou obvykle umístěny na prstech, uchu nebo na zápěstí, kde mohou efektivně monitorovat průtok krve.

V současné době se PPG technologie neustále vyvíjí a rozšiřuje o nové aplikace. Například, pokročilé algoritmy zpracování signálu a strojové učení otevírají cestu k přesnějšímu a spolehlivějšímu odhadu různých fyziologických parametrů. Tato vylepšení mají potenciál výrazně zlepšit diagnostiku a monitorování zdravotního stavu v reálném čase. To může vést ke kvalitnější prevenci a efektivnější léčbě mnoha kardiovaskulárních či respiračních onemocnění.

Tato technologie funguje na fyzikálním principu, při kterém okysličeným hemoglobinem prochází do fotoreceptoru jiná vlnová délka než odkysličeným hemoglobinem [7].

2.1 PPG signál

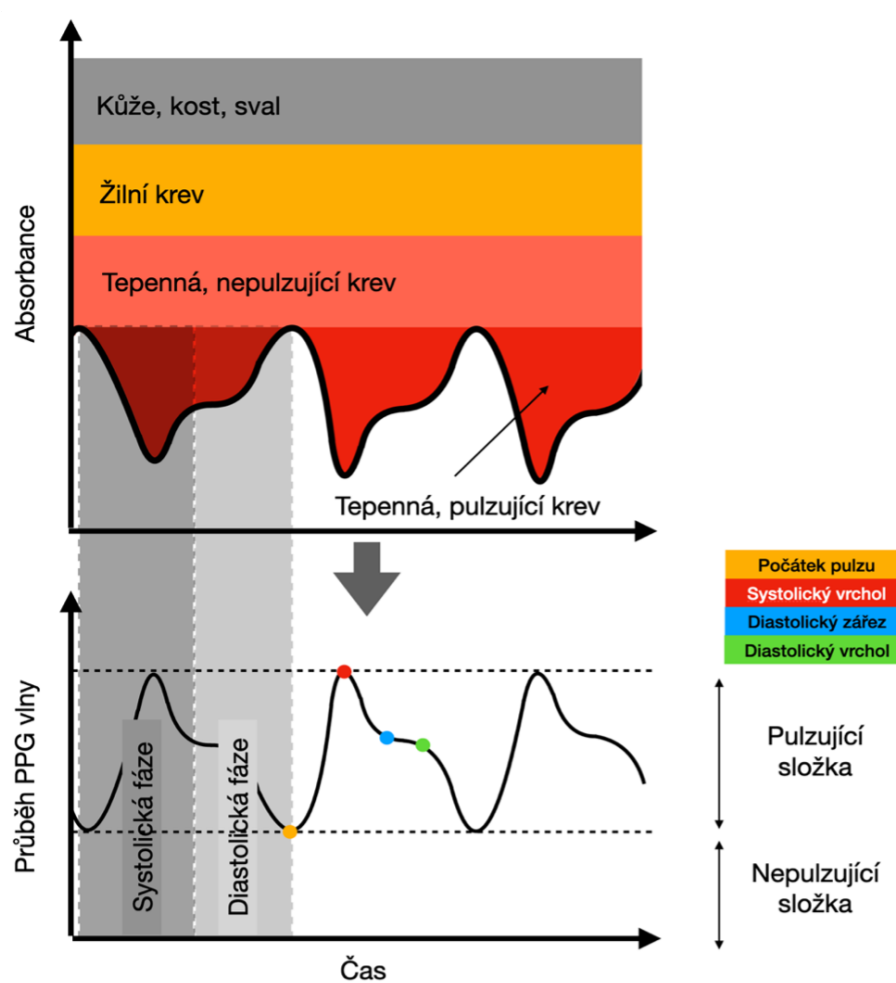
Obrázek 2.2 nám ukazuje, že PPG signál vykresluje na základě množství světla, které dopadlo na detektor a prošlo skrz tkáň, nebo se od ní odrazilo. Signál se skládá ze dvou hlavních složek: pulzní (AC) složky a ne-pulzní (DC) složky.

Pulzní složka (AC) PPG signálu je synchronní se srdečními cykly a odráží změny objemu krve spojené s každým srdečním cyklem. Tato složka je pro účel naší práce zásadní. AC složka je ovlivněna cyklickými změnami v objemu arteriální krve pod tlakem srdečních kontrakcí.

Na druhé straně ne-pulzní složka (DC) představuje základní hodnotu absorpce světla tkání, která je ovlivněna různými faktory jako například barva kůže, složení tkáně a stabilní objem krve v místě umístěného senzoru. Dále je ovlivněna vnějšími faktory, jako jsou specifikace měřicí technologie a podmínky okolního osvětlení [2][12].

Počátek pulzu v PPG signálu je obvykle pozorován v nejnižším bodě předcházející systolické fázi, což také odpovídá bodu minimálního objemu krve v tepnách. Vrchol systolické fáze, představující maximální objem krve, je klíčovým bodem pro analýzu dynamiky průtoku krve. Po systolickém vrcholu klesá PPG signál do diastolické fáze, kde se objevuje výrazný rys známý jako "diastolický zářez". Tento zářez, následovaný sekundárním vrcholem, indikuje obrácení tlakového gradientu, jak srdeční cyklus pokračuje do diastoly.

Tvar PPG vlny se mění na základě vnějších podnětů, fyziologického stavu a složení těla [12].



Obr. 2.2: Princip získání PPG křivky a její popis, upraveno z [12].

3 Databáze

V této práci jsme využívali dvě databáze fotopletysmografických signálů: CapnoBase a BUT PPG.

Na těchto databázích jsme testovali a porovnávali výsledky použitých algoritmů. U databáze CapnoBase jsme porovnávali naměřené systolické vrcholy s referenčními hodnotami a díky tomu jsme porovnávali i rozdíl v srdeční tepové frekvenci. U databáze BUT PPG nebyly referenční hodnoty systolických vrcholů k dispozici, ale byly zde referenční hodnoty tepové frekvence signálů.

3.1 CapnoBase

CapnoBase je databáze, která obsahuje signály získané během čtyřiceti dvou různých, klinických, situací. V databázi jsou 8 minut dlouhé, elektrokardiografické, respirační a pro naši práci nejdůležitější, fotopletysmografické (PPG) signály. Signály jsou vzorkovány při frekvenci 300 Hz a obsahují ručně označené referenční systolické vrcholy, což jsme využili pro vypočítání matice záměn [6]. Tyto vrcholy jsou označené podle záznamů elektrokardiogramů (EKG) [4].

3.2 BUT PPG

Brno University of Technology Smartphone PPG Database (BUT PPG) je databáze vytvořená na Fakultě elektrotechniky a komunikačních technologií Vysokého učení technického v Brně. Tato databáze byla vytvořena za účelem hodnocení kvality PPG signálů a odhadu srdeční frekvence (TF). Data obsahují 48 desetisekundových záznamů PPG a souvisejících elektrokardiografických (EKG) signálů, které byly použity pro určení referenční TF. Data byla shromážděna od 12 subjektů (6 žen a 6 mužů) ve věku od 21 do 61 let. Záznamy byly provedeny mezi srpnem 2020 a říjnem 2020 pomocí smartphonu Xiaomi Mi9 se vzorkovací frekvencí 30 Hz [5].

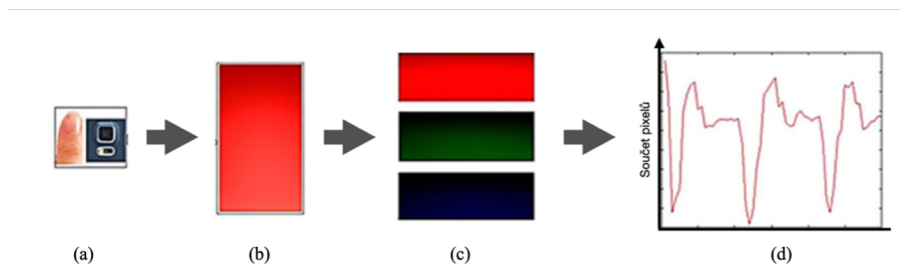
Určení kvality PPG signálů bylo stanoveno pěti experty. Tito experti určili TF pouze ze signálu PPG a výsledek porovnali s referenční TF vypočítané z EKG signálů. Během hodnocení měli přístup k softwaru, který využíval techniky stacionární vlnkové transformace. Využití tohoto programu bylo dobrovolné [1].

Jak bylo řečeno, data z BUT PPG byla nasnímana telefonem. V této podkapitole tedy popíšeme postup, jak extrahovat PPG signál z videa. Pro měření potřebujeme pouze kameru v mobilním telefonu a zapnutý blesk.

Při sběru dat pro Brněnskou databázi přiložil subjekt ukazováček na fotoaparát tak, aby překrýval objektiv a LED svítilnu. Při snímání vyzařuje LED světlo.

Rozlišení videa bylo nastaveno na 720 x 1280 px a snímkovací frekvence na 30 Hz [2].

Z videa byl extrahován průměr červené složky, který sloužil jako surový PPG signál. Jelikož fotoaparát pracuje se světlem odraženým, surový signál byl invertován. Postup je zobrazen na obrázku 3.1.



Obr. 3.1: Záznam videa na kameru mobilního telefonu (a), jeden vybraný snímek ze záznamu (b), snímek rozložen na tři barevné složky (c), PPG signál vykreslený z červené složky (d), upraveno z [3].

4 Referenční algoritmy

5 Vlastní algoritmy

6 Výsledky studentské práce

Praktická část a výsledky studentské práce vhodně rozdělené do částí.

6.1 Programové řešení

Lorem ipsum dolor sit amet, consectetur adipiscing elit. Nulla pulvinar eleifend sem. Integer in sapien. Etiam sapien elit, consequat eget, tristique non, venenatis quis, ante. In laoreet, magna id viverra tincidunt, sem odio bibendum justo, vel imperdiet sapien wisi sed libero. Phasellus enim erat, vestibulum vel, aliquam a, posuere eu, velit. Aliquam erat volutpat. Nullam faucibus mi quis velit [?].

6.2 Výsledky měření

Fusce tellus odio, dapibus id fermentum quis, suscipit id erat. Fusce tellus. Morbi scelerisque luctus velit. In laoreet, magna id viverra tincidunt, sem odio bibendum justo, vel imperdiet sapien wisi sed libero. Quisque porta. Fusce suscipit libero eget elit. Nulla non lectus sed nisl molestie malesuada. Phasellus faucibus molestie nisl. Integer vulputate sem a nibh rutrum consequat. Proin mattis lacinia justo. Phasellus et lorem id felis nonummy placerat. Etiam ligula pede, sagittis quis, interdum ultricies, scelerisque eu. Cras elementum. Aenean placerat. Donec ipsum massa, ullamcorper in, auctor et, scelerisque sed, est. Aliquam ante. Integer imperdiet lectus quis justo. Vivamus ac leo pretium faucibus. Nullam faucibus mi quis velit.

6.2.1 Etiam quis quam

Neque porro quisquam est, qui dolorem ipsum quia dolor sit amet, consectetur, adipisci velit, sed quia non numquam eius modi tempora incidunt ut labore et dolore magnam aliquam quaerat voluptatem. Aliquam erat volutpat. Lorem ipsum dolor sit amet, consectetur adipiscing elit [?, ?]. Nunc auctor. Neque porro quisquam est, qui dolorem ipsum quia dolor sit amet, consectetur, adipisci velit, sed quia non numquam eius modi tempora incidunt ut labore et dolore magnam aliquam quaerat voluptatem. Maecenas lorem. Maecenas libero. In laoreet, magna id viverra tincidunt, sem odio bibendum justo, vel imperdiet sapien wisi sed libero. Nullam rhoncus aliquam metus.

Integer rutrum orci vestibulum

Integer rutrum, orci vestibulum ullamcorper ultricies, lacus quam ultricies odio, vitae placerat pede sem sit amet enim. Ut enim ad minim veniam, quis nostrud

exercitation ullamco laboris nisi ut aliquip ex ea commodo consequat. Fusce tellus odio, dapibus id fermentum quis, suscipit id erat. Nullam eget nisl. Nunc auctor. Etiam dui sem, fermentum vitae, sagittis id, malesuada in, quam. Fusce dui leo, imperdiet in, aliquam sit amet, feugiat eu, orci. Curabitur vitae diam non enim vestibulum interdum. Aliquam erat volutpat. Pellentesque sapien. Phasellus enim erat, vestibulum vel, aliquam a, posuere eu, velit.

Eger rutrum orci vestibulum

Fusce dui leo, imperdiet in, aliquam sit amet, feugiat eu, orci. Maecenas aliquet accumsan leo. Aliquam ornare wisi eu metus. Cum sociis natoque penatibus et magnis dis parturient montes, nascetur ridiculus mus. Aliquam erat volutpat. Donec iaculis gravida nulla. Sed elit dui, pellentesque a, faucibus vel, interdum nec, diam. Temporibus autem quibusdam et aut officiis debitis aut rerum necessitatibus saepe eveniet ut et voluptates repudiandae sint et molestiae non recusandae. Nulla non arcu lacinia neque faucibus fringilla. Phasellus enim erat, vestibulum vel, aliquam a, posuere eu, velit. Praesent vitae arcu tempor neque lacinia pretium [?, ?, ?].

Aliquam erat volutpat. Quisque porta. Integer imperdiet lectus quis justo. Nullam justo enim, consectetur nec, ullamcorper ac, vestibulum in, elit. Nullam faucibus mi quis velit. Fusce tellus. Fusce consectetur risus a nunc. Cras pede libero, dapibus nec, pretium sit amet, tempor quis. Morbi imperdiet, mauris ac auctor dictum, nisl ligula egestas nulla, et sollicitudin sem purus in lacus [14, 15, 16]. Mauris elementum mauris vitae tortor. Neque porro quisquam est, qui dolore ipsum quia dolor sit amet, consectetur, adipisci velit, sed quia non numquam eius modi tempora incidunt ut labore et dolore magnam aliquam quaerat voluptatem. Quisque porta. Integer vulputate sem a nibh rutrum consequat. Nulla pulvinar eleifend sem. Praesent id justo in neque elementum ultrices [17].

Fusce suscipit libero eget elit. Integer vulputate sem a nibh rutrum consequat. Aliquam erat volutpat. Etiam neque. Nulla turpis magna, cursus sit amet, suscipit a, interdum id, felis. Nullam rhoncus aliquam metus. Etiam dui sem, fermentum vitae, sagittis id, malesuada in, quam. Nunc auctor. Nunc dapibus tortor vel mi dapibus sollicitudin. Praesent in mauris eu tortor porttitor accumsan. Nulla non arcu lacinia neque faucibus fringilla. Nullam lectus justo, vulputate eget mollis sed, tempor sed magna. Maecenas lorem. Aenean placerat. Donec vitae arcu. Maecenas lorem. Donec iaculis gravida nulla. Nulla non lectus sed nisl molestie malesuada.

Duis pulvinar. Nulla est. Duis condimentum augue id magna semper rutrum. Integer pellentesque quam vel velit. Aliquam ante. Nulla quis diam. Proin mattis lacinia justo. Aenean fermentum risus id tortor. Nunc auctor. Nullam justo enim, consectetur nec, ullamcorper ac, vestibulum in, elit. In dapibus augue non sapien.

Etiam bibendum elit eget erat. In sem justo, commodo ut, suscipit at, pharetra vitae, orci. Maecenas libero.

Nulla non lectus sed nisl molestie malesuada. Donec vitae arcu. Aenean fermentum risus id tortor. Praesent in mauris eu tortor porttitor accumsan. Nulla pulvinar eleifend sem. Duis viverra diam non justo. Integer imperdiet lectus quis justo. Pellentesque habitant morbi tristique senectus et netus et malesuada fames ac turpis egestas. In rutrum. Excepteur sint occaecat cupidatat non proident, sunt in culpa qui officia deserunt mollit anim id est laborum. Nulla non lectus sed nisl molestie malesuada. Aliquam erat volutpat. Mauris tincidunt sem sed arcu. Duis bibendum, lectus ut viverra rhoncus, dolor nunc faucibus libero, eget facilisis enim ipsum id lacus. Fusce tellus odio, dapibus id fermentum quis, suscipit id erat. In enim a arcu imperdiet malesuada. Nulla non lectus sed nisl molestie malesuada. Proin mattis lacinia justo.

Aliquam in lorem sit amet leo accumsan lacinia. Cum sociis natoque penatibus et magnis dis parturient montes, nascetur ridiculus mus. Duis sapien nunc, commodo et, interdum suscipit, sollicitudin et, dolor. Suspendisse sagittis ultrices augue. Nullam lectus justo, vulputate eget mollis sed, tempor sed magna. In convallis. Praesent id justo in neque elementum ultrices. Neque porro quisquam est, qui dolorem ipsum quia dolor sit amet, consectetur, adipisci velit, sed quia non numquam eius modi tempora incidunt ut labore et dolore magnam aliquam quaerat voluptatem.

Pellentesque pretium lectus id turpis. Nemo enim ipsam voluptatem quia voluptas sit aspernatur aut odit aut fugit, sed quia consequuntur magni dolores eos qui ratione voluptatem sequi nesciunt. Curabitur ligula sapien, pulvinar a vestibulum quis, facilisis vel sapien. Praesent dapibus. Sed elit dui, pellentesque a, faucibus vel, interdum nec, diam. Duis viverra diam non justo. Duis ante orci, molestie vitae vehicula venenatis, tincidunt ac pede. Phasellus rhoncus. Maecenas fermentum, sem in pharetra pellentesque, velit turpis volutpat ante, in pharetra metus odio a lectus. Proin pede metus, vulputate nec, fermentum fringilla, vehicula vitae, justo. Fusce aliquam vestibulum ipsum. Nullam at arcu a est sollicitudin euismod.

Závěr

Tato bakalářská práce se zaměřila na odhad tepové frekvence (TF) z fotopletysmografických (PPG) signálů. Cílem bylo jednak poskytnout stručný přehled existujících metod pro odhad TF z PPG signálů, jednak navrhnout a popsat algoritmy pro spolehlivé stanovení tepové frekvence.

V teoretické části byla popsána fotopletysmografie jako neinvazivní optická metoda monitorování změn objemu krve v tkáních, která se používá zejména pro sledování kardiovaskulárních parametrů. Byly představeny základní principy PPG signálů a faktory, které mohou ovlivnit jejich kvalitu a přesnost měření.

Praktická část práce se soustředila na implementaci a testování několika algoritmů pro detekci systolických vrcholů v PPG signálech, včetně Aboyova algoritmu, jeho vylepšené verze Aboy++, Elgendiho algoritmu, Rezonátoru s nulovou frekvencí (ZFR) a nově navrženého Upraveného Aboyova algoritmu. Algoritmy byly testovány na dvou databázích: CapnoBase a BUT PPG.

Výsledky ukázaly, že Rezonátor s nulovou frekvencí (ZFR) dosahuje nejlepších výsledků na databázi CapnoBase, přičemž vykazuje vysokou citlivost a pozitivní prediktivní hodnotu. Elgendiho algoritmus se prokázal jako nejspolehlivější na databázi BUT PPG, přičemž dosahoval nejnižší průměrné odchylky mezi detekovanou a referenční TF.

Jedním z klíčových cílů této práce byl vývoj a implementace upraveného Aboyova algoritmu. Tento algoritmus dosahuje lepších odhadů TF na databázi CapnoBase ve srovnání s původní verzí, a to zejména díky zjednodušení a odstranění některých kroků, které způsobovaly přehlížení skutečných systolických vrcholů. Na databázi BUT PPG však vykazoval vyšší odchylky TF, což naznačuje potřebu další optimalizace pro spolehlivější detekci.

Dalším krokem pro zlepšení přesnosti odhadu TF by mohlo být využití pokročilejších technik strojového učení a hlubokých neuronových sítí, které mohou nabídnout lepší adaptaci na různé typy signálů a zlepšit robustnost algoritmů vůči šumu a artefaktům.

Literatura

- [1] NEMCOVA, Andrea, Enikő VARGOVA, Radovan SMISEK, Lucie MARSA-NOVA, Lukas SMITAL, Martin VITEK a Mihajlo JAKOVLJEVIC. Brno University of Technology Smartphone PPG Database (BUT PPG): Annotated Dataset for PPG Quality Assessment and Heart Rate Estimation. *BioMed Research International* [online]. 2021-09-06, 2021, 1-6 [cit. 2024-05-23]. ISSN 2314-6141. Dostupné z: <https://doi.org/10.1155/2021/3453007>
- [2] VARGOVÁ, Enikő. *Stanovení kvality a odhad tepové frekvence ze signálu PPG* [online]. Brno, 2021 [cit. 2022-11-15]. Dostupné z: <https://www.vutbr.cz/studenti/zav-prace/detail/134388>. Bakalářská práce. Vysoké učení technické v Brně, Fakulta elektrotechniky a komunikačních technologií, Ústav biomedicínského inženýrství. Vedoucí práce Andrea Němcová.
- [3] SIDDIQUI, Sarah Ali, Yuan ZHANG, Zhiquan FENG a Anton KOS. A Pulse Rate Estimation Algorithm Using PPG and Smartphone Camera. *Journal of Medical Systems* [online]. 2016, 40(5) [cit. 2024-05-20]. ISSN 0148-5598. Dostupné z: <https://doi.org/10.1007/s10916-016-0485-6>
- [4] CHARLTON, Peter H, Kevin KOTZEN, Elisa MEJÍA-MEJÍA, et al. Detecting beats in the photoplethysmogram: benchmarking open-source algorithms. *Physiological Measurement* [online]. 2022-08-19, 43(8) [cit. 2024-05-20]. ISSN 0967-3334. Dostupné z: <https://doi.org/10.1088/1361-6579/ac826d>
- [5] CHARLTON, Peter H, John ALLEN, Raquel BAILÓN, et al. The 2023 wearable photoplethysmography roadmap. *Physiological Measurement* [online]. 2023-11-29, 44(11) [cit. 2024-05-20]. ISSN 0967-3334. Dostupné z: <https://doi.org/10.1088/1361-6579/acead2>
- [6] KARLEN, Walter, S. RAMAN, J. M. ANSERMINO a G. A. DUMONT. Multi-parameter Respiratory Rate Estimation From the Photoplethysmogram. *IEEE Transactions on Biomedical Engineering* [online]. 2013, 60(7), 1946-1953 [cit. 2024-04-16]. ISSN 0018-9294. Dostupné z: <https://doi.org/10.1109/TBME.2013.2246160>
- [7] ORPHANIDOU, Christina. *Signal Quality Assessment in Physiological Monitoring* [online]. Cham: Springer International Publishing, 2018 [cit. 2024-05-20]. SpringerBriefs in Bioengineering. ISBN 978-3-319-68414-7. Dostupné z: <https://doi.org/10.1007/978-3-319-68415-4>

- [8] GODA, Márton Á, Peter H CHARLTON a Joachim A BEHAR. PyPPG: a Python toolbox for comprehensive photoplethysmography signal analysis. *Physiological Measurement* [online]. 2024-04-08, 45(4) [cit. 2024-05-20]. ISSN 0967-3334. Dostupné z: <https://doi.org/10.1088/1361-6579/ad33a2>
- [9] MOUREK, Jindřich. *Fyziologie: učebnice pro studenty zdravotnických oborů*. 2. dopl. vydání Praha: Grada. Sestra (Grada), 2012. ISBN 978-80-247-3918-2
- [10] SOUČEK, Miroslav, Petr SVAČINA a kolektiv. *Vnitřní lékařství v kostce*. Praha: Grada Publishing, 2019. ISBN 978-80-271-2289-9.
- [11] GONZAGA, Luana Almeida, Luiz Carlos Marques VANDERLEI, Rayana Loch GOMES a Vitor Engrácia VALENTI. Caffeine affects autonomic control of heart rate and blood pressure recovery after aerobic exercise in young adults: a crossover study. *Scientific Reports* [online]. 2017, 7(1) [cit. 2024-05-15]. ISSN 2045-2322. Dostupné z: <https://doi.org/10.1038/s41598-017-14540-4>
- [12] PARK, Junyung, Hyeon Seok SEOK, Sang-Su KIM a Hangsik SHIN. Photoplethysmogram Analysis and Applications: An Integrative Review. *Frontiers in Physiology* [online]. 2022-03-01, 12 [cit. 2022-12-18]. ISSN 1664-042X. Dostupné z: <https://doi.org/10.3389/fphys.2021.808451>
- [13] POVEA, Camilo E. a Arturo CABRERA. Practical usefulness of heart rate monitoring in physical exercise. *Revista Colombiana de Cardiología* [online]. 2018, 25(3), e9-e13 [cit. 2024-05-15]. ISSN 01205633. Dostupné z: <https://doi.org/10.1016/j.rccar.2018.05.004>
- [14] ÚŘAD PRO TECHNICKOU NORMALIZACI, METROLOGII A STÁTNÍ ZKUŠEBNICTVÍ. ČSN ISO 690:2022 (01 0197), *Informace a dokumentace – Pravidla pro bibliografické odkazy a citace informačních zdrojů*. Čtvrté vydání. Praha, 2022.
- [15] ÚŘAD PRO TECHNICKOU NORMALIZACI, METROLOGII A STÁTNÍ ZKUŠEBNICTVÍ. ČSN ISO 7144 (010161), *Dokumentace – Formální úprava disertací a podobných dokumentů*. Praha, 1997.
- [16] ÚŘAD PRO TECHNICKOU NORMALIZACI, METROLOGII A STÁTNÍ ZKUŠEBNICTVÍ. ČSN ISO 31-11, *Veličiny a jednotky – část 11: Matematické znaky a značky používané ve fyzikálních vědách a v technice*. Praha, 1999.
- [17] FARKAŠOVÁ, B.; GARAMSZEGI T.; JANSOVÁ L.; KONEČNÝ L.; KRČÁL M. et al. *Výklad normy ČSN ISO 690:2022 (01 0197) účinné od*

1. 12. 2022. Online. První vydání. 2023. Dostupné z: <https://www.citace.com/Vyklad-CSN-ISO-690-2022.pdf>. [cit. 2023-09-27].

Seznam symbolů a zkratek

Šířka levého sloupce Seznamu symbolů a zkratek překročena je určena šířkou parametru prostředí `acronym` (viz řádek 1 výpisu zdrojáku na str. 53)

KolikMista	pouze ukázka vyhrazeného místa
DSP	číslicové zpracování signálů – Digital Signal Processing
f_{vz}	vzorkovací kmitočet
VUT	Vysoké učení technické v Brně
CESA	Centrum sportovních aktivit
FEKT	Fakulta elektrotechniky a komunikačních technologií
BUT PPG	Brno University of Technology Smartphone PPG Database
PPG	Fotopletysmografie
EKG	Elektrokardiogram
TF	Tepová frekvence
MTF	Maximální tepová frekvence
LED	Elektroluminiscenční dioda
AC	Střídavý proud, pulzující složka
DC	Stejnoseměrný proud, nepulzující složka
FIR	Filtr s konečnou impulzní charakteristikou
IIR	Filtr s nekonečnou impulzní charakteristikou
FFT	Rychlá Fourierova transformace
TN	Pravdivě negativní
TP	Pravdivě pozitivní
FN	Falešně negativní
FP	Falešně pozitivní
PPV	Pozitivní prediktivní hodnota

Se	Senzitivita
ms	Milisekunda
px	Pixel

Seznam příloh

A	Některé příkazy balíčku <code>thesis</code>	49
A.1	Příkazy pro sazbu veličin a jednotek	49
A.2	Příkazy pro sazbu symbolů	49
B	Druhá příloha	51
C	Příklad sazby zdrojových kódů	53
C.1	Balíček <code>listings</code>	53
D	Obsah elektronické přílohy	57

A Některé příkazy balíčku thesis

A.1 Příkazy pro sazbu veličin a jednotek

Tab. A.1: Přehled příkazů pro matematické prostředí

Příkaz	Příklad	Zdroj příkladu	Význam
<code>\textind{...}</code>	β_{\max}	<code>\$_\beta_\textind{max}\$</code>	textový index
<code>\const{...}</code>	U_{in}	<code>\$_\const{U}_\textind{in}\$</code>	konstantní veličina
<code>\var{...}</code>	u_{in}	<code>\$_\var{u}_\textind{in}\$</code>	proměnná veličina
<code>\complex{...}</code>	\textit{u}_{in}	<code>\$_\complex{u}_\textind{in}\$</code>	komplexní veličina
<code>\vect{...}</code>	\mathbf{y}	<code>\$_\vect{y}\$</code>	vektor
<code>\mat{...}</code>	\mathbf{Z}	<code>\$_\mat{Z}\$</code>	matice
<code>\unit{...}</code>	kV	<code>\$__\unit{kV}\$</code> či <code>\unit{kV}</code>	jednotka

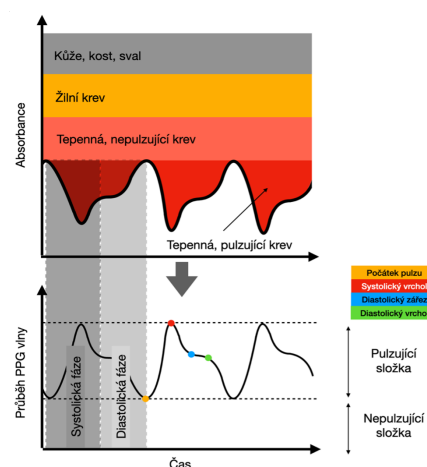
A.2 Příkazy pro sazbu symbolů

- `\E`, `\eul` – sazba Eulerova čísla: e ,
- `\J`, `\jmag`, `\I`, `\imag` – sazba imaginární jednotky: j , i ,
- `\dif` – sazba diferenciálu: d ,
- `\sinc` – sazba funkce: sinc ,
- `\mikro` – sazba symbolu mikro stojatým písmem¹: μ ,
- `\uppi` – sazba symbolu π (stojaté řecké pí, na rozdíl od `\pi`, což sází π).

Všechny symboly jsou určeny pro matematický mód, vyjma `\mikro`, jenž je použitelný rovněž v textovém módu.

¹znak pochází z balíčku `textcomp`

B Druhá příloha



Obr. B.1: Signál PPG.

Pro sazbu vektorových obrázků přímo v $\text{L}^{\text{A}}\text{T}_{\text{E}}\text{X}_{\text{U}}$ je možné doporučit balíček **TikZ**. Příklady sazby je možné najít na $\text{T}_{\text{E}}\text{X}$ ample. Pro vyzkoušení je možné použít programy **QTikz** nebo **TikzEdt**.

C Příklad sazby zdrojových kódů

C.1 Balíček listings

Pro vysázení zdrojových souborů je možné použít balíček `listings`. Balíček zavádí nové prostředí `lstlisting` pro sazbu zdrojových kódů, jako například:

```
\section{Balíček lstlistings}
Pro vysázení zdrojových souborů je možné použít
  balíček \href{https://www.ctan.org/pkg/listings}%
  {\texttt{listings}}.
Balíček zavádí nové prostředí \texttt{lstlisting} pro
  sazbu zdrojových kódů.
```

Podporuje množství programovacích jazyků. Kód k vysázení může být načítán přímo ze zdrojových souborů. Umožňuje vkládat čísla řádků nebo vypisovat jen vybrané úseky kódu. Např.:

Zkratky jsou sázeny v prostředí `acronym`:

```
6 \begin{acronym}[KolikMista] % [KolikMista] určuje šířku sloupce pro
```

Šířka textu volitelného parametru `KolikMista` udává šířku prvního sloupce se zkratkami. Proto by měla být zadávána nejdelší zkratka nebo symbol. Příklad definice zkratky f_{vz} je na výpisu C.1.

Výpis C.1: Ukázka sazby zkratek

Ukončení seznamu je provedeno ukončením prostředí:

Poznámka k výpisům s použitím volby jazyka czech nebo slovak:

Pokud Váš zdrojový kód obsahuje znak spojovníku `-`, pak překlad může skončit chybou. Ta je způsobená tím, že znak `-` je v českém nebo slovenském nastavení balíčku `babel` tzv. aktivním znakem. Přepněte znak `-` na neaktivní příkazem `\shorthandoff{-}` těsně před výpisem a hned za ním jej vraťte na aktivní příkazem `\shorthandon{-}`. Podobně jako to je ukázáno ve zdrojovém kódu šablony.

Na výpisu C.2 naleznete příklad kódu pro Matlab, na výpisu C.3 zase pro jazyk C.

Výpis C.2: Příklad Schur-Cohnova testu stability v prostředí Matlab.

```
1 %% Příklad testování stability filtru
2
3 % koefficienty polynomu ve jmenovateli
4 a = [ 5, 11.2, 5.44, -0.384, -2.3552, -1.2288];
5 disp( 'Polynom:'); disp(poly2str( a, 'z'))
6
7 disp('Kontrola pomocí kořenů polynomu:');
8 zx = roots( a);
9 if( all( abs( zx) < 1))
10     disp('System je stabilní')
11 else
12     disp('System je nestabilní nebo na mezí stability');
13 end
14
15 disp(' '); disp('Kontrola pomocí Schur-Cohn:');
16 ma = zeros( length(a)-1,length(a));
17 ma(1,:) = a/a(1);
18 for( k = 1:length(a)-2)
19     aa = ma(k,1:end-k+1);
20     bb = fliplr( aa);
21     ma(k+1,1:end-k+1) = (aa-aa(end)*bb)/(1-aa(end)^2);
22 end
23
24 if( all( abs( diag( ma.'))))
25     disp('System je stabilní')
26 else
27     disp('System je nestabilní nebo na mezí stability');
28 end
```

Výpis C.3: Příklad implementace první kanonické formy v jazyce C.

<i>// první kanonická forma</i>	1
<u>short</u> fxdf2t(<u>short</u> coef[][5], <u>short</u> sample)	2
{	3
<u>static int</u> v1[SECTIONS] = {0,0}, v2[SECTIONS] = {0,0};	4
<u>int</u> x, y, accu;	5
<u>short</u> k;	6
	7
x = sample;	8
<u>for</u> (k = 0; k < SECTIONS; k++){	9
accu = v1[k] >> 1;	10
y = _sadd(accu, _smpy(coef[k][0], x));	11
y = _sshl(y, 1) >> 16;	12
	13
accu = v2[k] >> 1;	14
accu = _sadd(accu, _smpy(coef[k][1], x));	15
accu = _sadd(accu, _smpy(coef[k][2], y));	16
v1[k] = _sshl(accu, 1);	17
	18
accu = _smpy(coef[k][3], x);	19
accu = _sadd(accu, _smpy(coef[k][4], y));	20
v2[k] = _sshl(accu, 1);	21
	22
x = y;	23
}	24
<u>return</u> (y);	25
}	26

D Obsah elektronické přílohy

Elektronická příloha je často nedílnou součástí semestrální nebo závěrečné práce. Vkládá se do informačního systému VUT v Brně ve vhodném formátu (ZIP, PDF ...).

Nezapomeňte uvést, co čtenář v této příloze najde. Je vhodné okomentovat obsah každého adresáře, specifikovat, který soubor obsahuje důležitá nastavení, který soubor je určen ke spuštění, uvést nastavení kompilátoru atd. Také je dobře napsat, v jaké verzi software byl kód testován (např. Matlab 2018b). Pokud bylo cílem práce vytvořit hardwarové zařízení, musí elektronická příloha obsahovat veškeré podklady pro výrobu (např. soubory s návrhem DPS v Eagle).

Pokud je souborů hodně a jsou organizovány ve více složkách, je možné pro výpis adresářové struktury použít balíček `dirtree`.

```
/ .....kořenový adresář přiloženého archivu
├── logo .....loga školy a fakulty
│   ├── BUT_abbreviation_color_PANTONE_EN.pdf
│   ├── BUT_color_PANTONE_EN.pdf
│   ├── FEEC_abbreviation_color_PANTONE_EN.pdf
│   ├── FEKT_zkratka_barevne_PANTONE_CZ.pdf
│   ├── UTKO_color_PANTONE_CZ.pdf
│   ├── UTKO_color_PANTONE_EN.pdf
│   ├── VUT_barevne_PANTONE_CZ.pdf
│   ├── VUT_symbol_barevne_PANTONE_CZ.pdf
│   └── VUT_zkratka_barevne_PANTONE_CZ.pdf
├── obrazky .....ostatní obrázky
│   ├── soucastky.png
│   ├── spoje.png
│   ├── ZlepseneWilsonovoZrcadloNPN.png
│   └── ZlepseneWilsonovoZrcadloPNP.png
├── pdf .....pdf stránky generované informačním systémem
│   ├── student-desky.pdf
│   ├── student-titulka.pdf
│   └── student-zadani.pdf
├── text .....zdrojové textové soubory
│   ├── literatura.tex
│   ├── prilohy.tex
│   ├── reseni.tex
│   ├── uvod.tex
│   ├── vysledky.tex
│   ├── zaver.tex
│   └── zkratky.tex
├── sablona-obhaj.tex .....hlavní soubor pro sazbu prezentace k obhajobě
├── sablona-prace.tex .....hlavní soubor pro sazbu kvalifikační práce
└── thesis.sty .....balíček pro sazbu kvalifikačních prací
```